

EL NIÑO/OSCILACIÓN DEL SUR (ENSO, por sus siglas en inglés) DISCUSIÓN DIAGNÓSTICA

emitido por el

CENTRO DE PREDICCIÓN CLIMÁTICA/NCEP/NWS
Traducción cortesía del: NWS-WFO SAN JUAN, PUERTO RICO
11 de diciembre de 2025

Estatus del Sistema de alerta del ENSO: [Advertencia de La Niña](#)

Sinopsis: Las condiciones de La Niña se favorecen que continúen durante el próximo mes o dos, con una transición a ENSO neutral más probable entre enero y marzo de 2026 (68% de probabilidad).

Las condiciones de La Niña persistieron en noviembre, como lo indica la continuidad de las temperaturas de superficie oceánicas (SSTs, por sus siglas en inglés) por debajo del promedio en el centro y este del Pacífico ecuatorial (Fig. 1). El valor semanal más reciente del índice Niño-3.4 fue de -0.5 °C, y los demás valores de los índices Niño estuvieron entre -0.2 °C y -0.4 °C (Fig. 2). Las anomalías negativas de temperatura subsuperficial se debilitaron ligeramente (promediadas entre 180°-100°O; Fig. 3), pero las temperaturas por debajo del promedio continuaron desde la superficie hasta 200 m de profundidad en la mitad este del Pacífico ecuatorial (Fig. 4). La atmósfera tropical reflejó condiciones de La Niña, con anomalías de vientos del este en niveles evidentes en el Pacífico central y anomalías de vientos del oeste en niveles altos observadas en gran parte del Pacífico ecuatorial. La convección resaltada persistió sobre Indonesia y estuvo suprimida cerca de la Línea Internacional de Cambio de Fecha (Fig. 5). Los índices de la Oscilación del Sur tradicional y ecuatorial fueron positivos. Colectivamente, el sistema acoplado océano-atmósfera se mantiene consistente con condiciones de La Niña.

Las predicciones de modelos múltiples del IRI indican la continuación de La Niña durante la temporada diciembre-febrero (DJF) de 2025-26, pero luego se favorecerá una transición a condiciones neutrales del ENSO para enero-marzo (JFM) de 2026 (Fig. 6). Junto con el Conjunto Multi-Modelo de Norteamérica (NMME), el equipo continúa respaldando ligeramente condiciones de La Niña débiles durante DJF (54% de probabilidad), antes de la transición a condiciones neutrales del ENSO en JFM. Incluso después de que las SST del Pacífico ecuatorial regresen a condiciones neutrales del ENSO, La Niña aún podría tener cierta influencia residual durante los inicios de la primavera de 2026 en el hemisferio norte ([por ejemplo, las perspectivas estacionales de CPC](#)). En resumen, se favorece la continuación de La Niña durante el próximo mes o dos, con una transición a condiciones neutrales del ENSO más probable entre enero y marzo de 2026 (68% de probabilidad; Fig. 7).

Esta discusión es un esfuerzo consolidado de la Administración Nacional Oceánica y Atmosférica (NOAA, por sus siglas en inglés), el Servicio Nacional de Meteorología de NOAA y sus instituciones financiadas. Las condiciones oceánicas y atmosféricas son actualizadas semanalmente en la página web del Centro de Predicción Climática ([Condiciones actuales de El Niño/La Niña y La Discusión de Expertos](#)). Un pronóstico probabilístico de la intensidad de ENSO está disponible [aquí](#). La próxima Discusión Diagnóstica de ENSO está programada para el 8 de enero de 2026. Para recibir una notificación por correo electrónico cuando la Discusión

Diagnóstica de ENSO mensual esté disponible, favor enviar un mensaje a: ncep.list.enso-update@noaa.gov.

Centro de Predicción Climática
Centros Nacionales de Predicción Ambiental
NOAA/Servicio Nacional de Meteorología
College Park, MD 20740

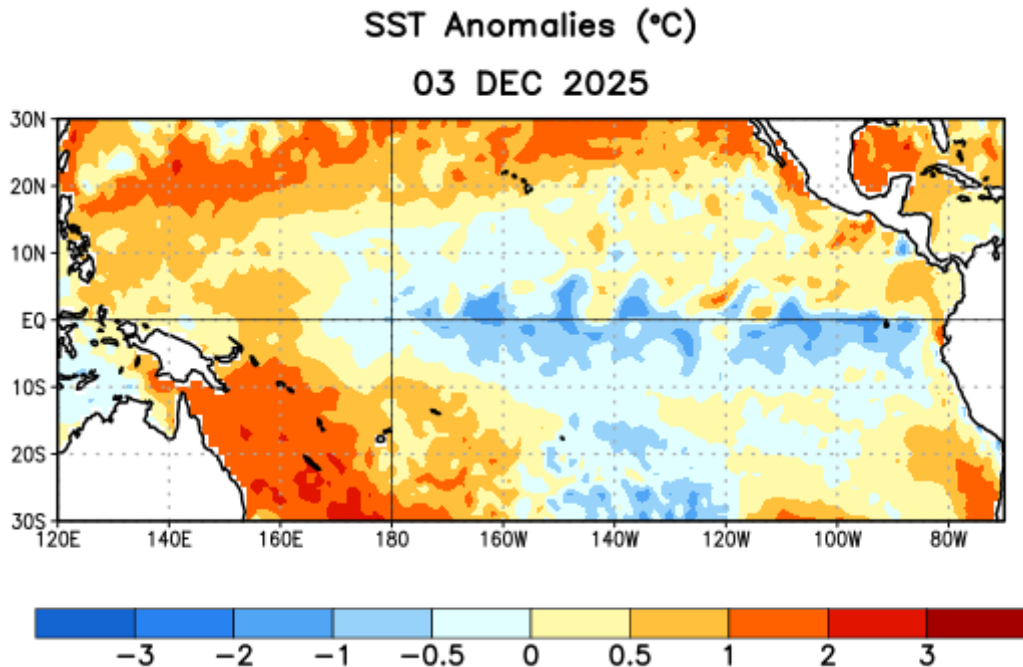


Figura 1. Anomalías (°C) de la temperatura promedio de la superficie del océano (SST, por sus siglas en inglés) para la semana centrada en el 3 de diciembre de 2025. Las anomalías son calculadas utilizando como referencia los promedios semanales del período base de 1991-2020.

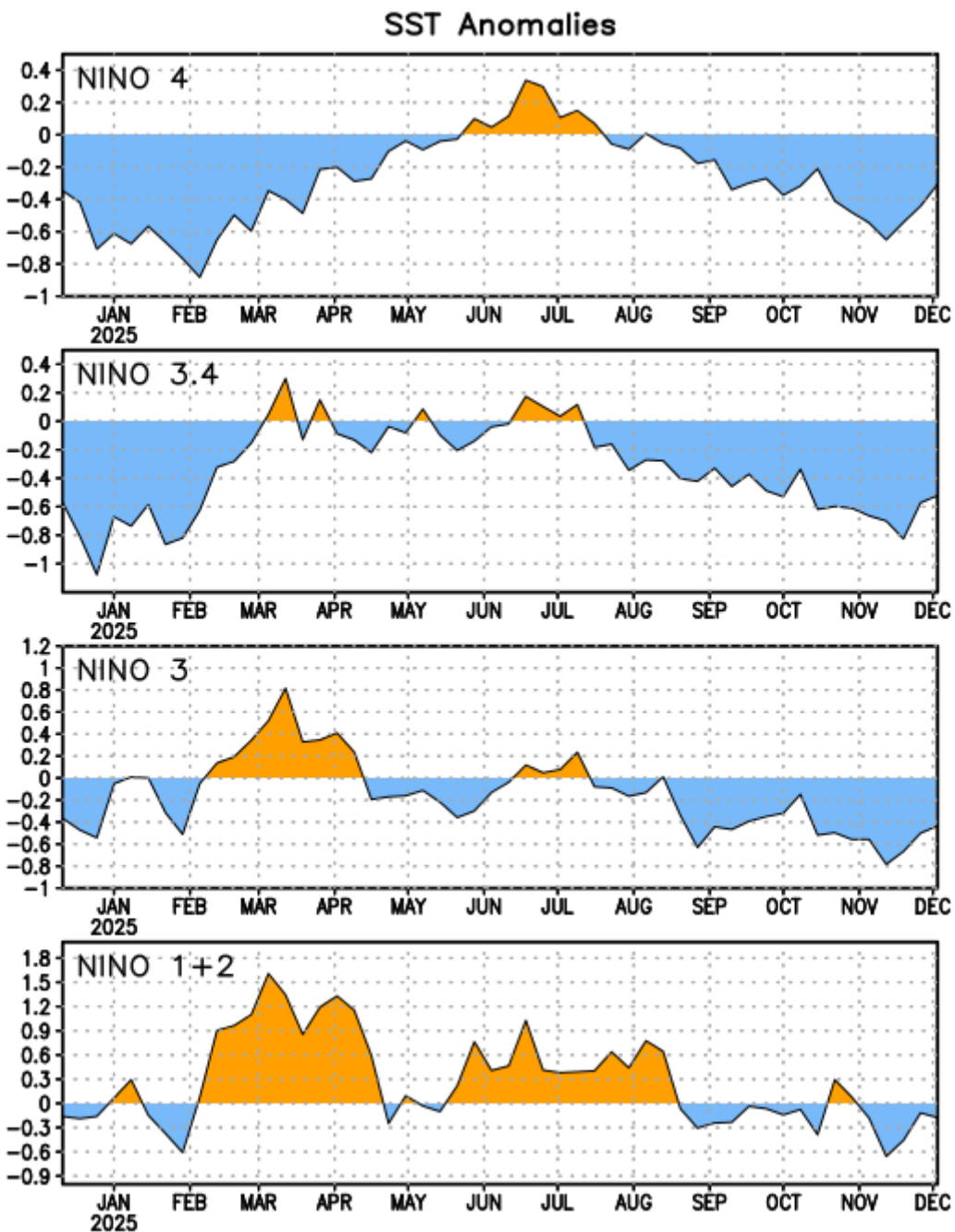


Figura 2. Series de Tiempo de las anomalías (en °C) de temperaturas de la superficie del océano (SST) en un área promediada en las regiones del Niño [Niño-4 (5°N-5°S, 150°W-160°E), Niño-3.4 (5°N-5°S, 170°O-120°O), Niño-3 (5°N-5°S, 150°O-90°O), Niño-1+2 (0°-10°S, 90°O-80°O)]. Las anomalías de SST son variaciones de los promedios semanales del período base de 1991-2020.

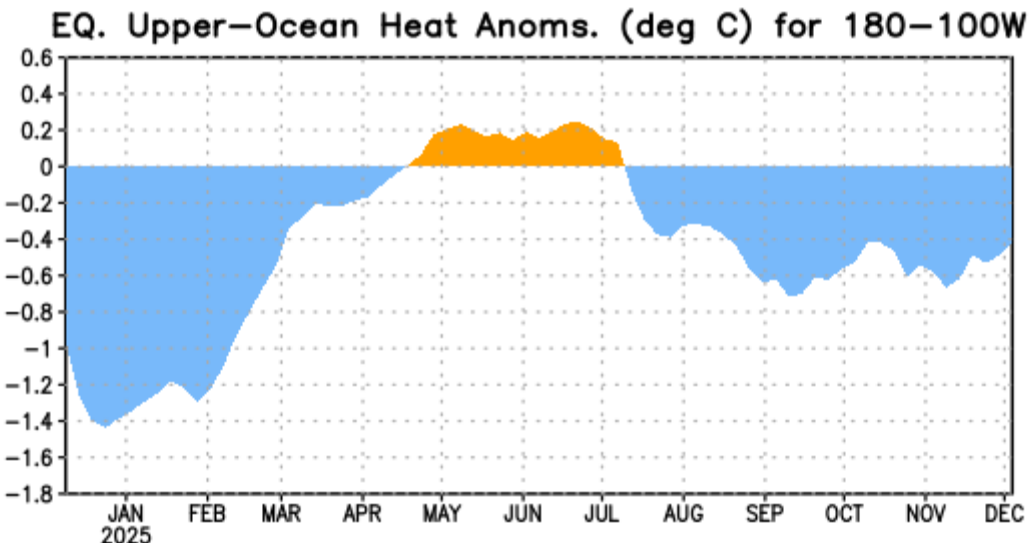


Figura 3. Anomalías del contenido calórico (en °C) en un área promediada del Pacífico ecuatorial (5°N - 5°S , 180° - 100°O). La anomalía del contenido calórico se calcula como la desviación de los penta-promedios del período base de 1991-2020.

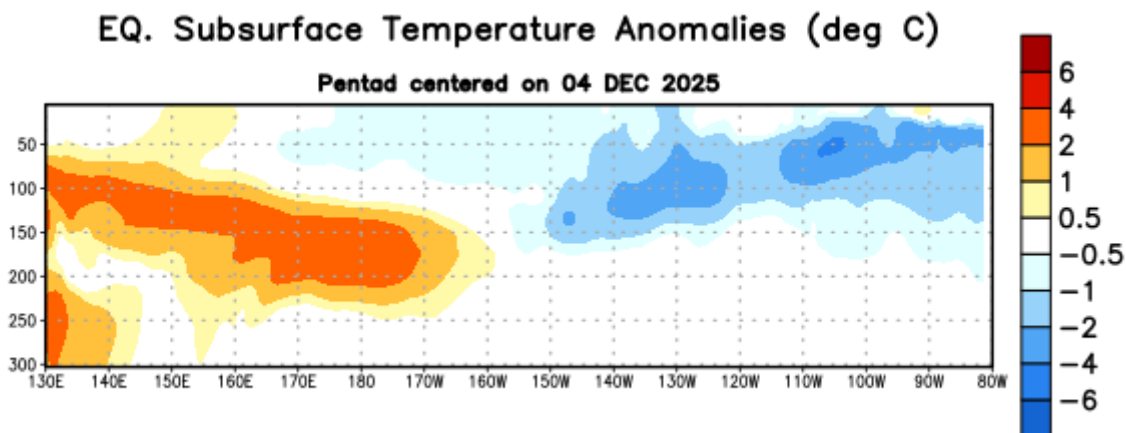


Figura 4: Sección de profundidad-longitud de las anomalías de temperatura (°C) de la capa superior del océano Pacífico ecuatorial (0-300 m) centrada en la pétanda del 4 de diciembre de 2025. Las anomalías son desviaciones respecto a los promedios de las pétandas del período base de 1991-2020.

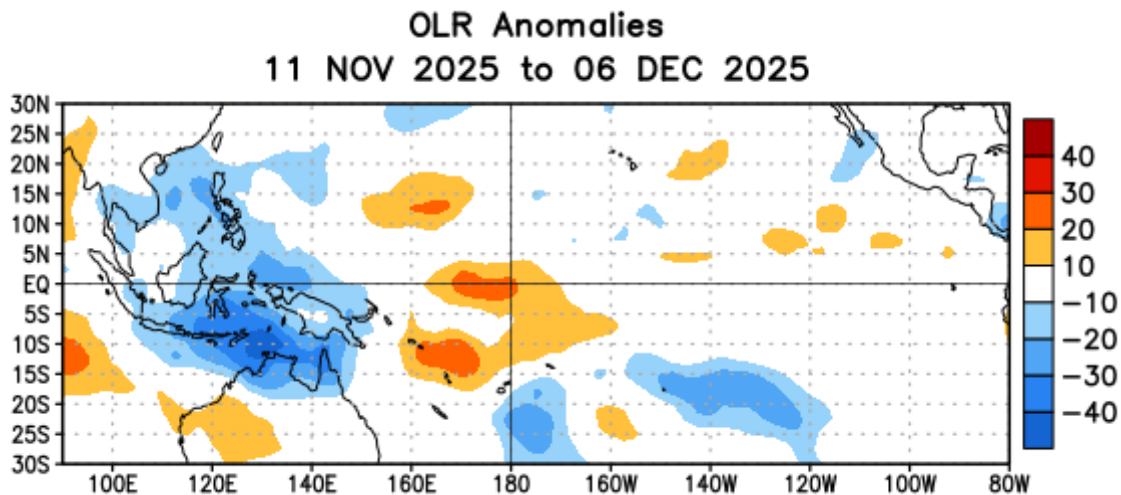


Figura 5. Promedio de las anomalías de radiación de onda larga saliente (OLR) (W/m^2) para el período del 11 de noviembre al 6 de diciembre de 2025. Las anomalías de OLR se calculan como desviaciones respecto a las medias de las pétadas del período base 1991-2020.

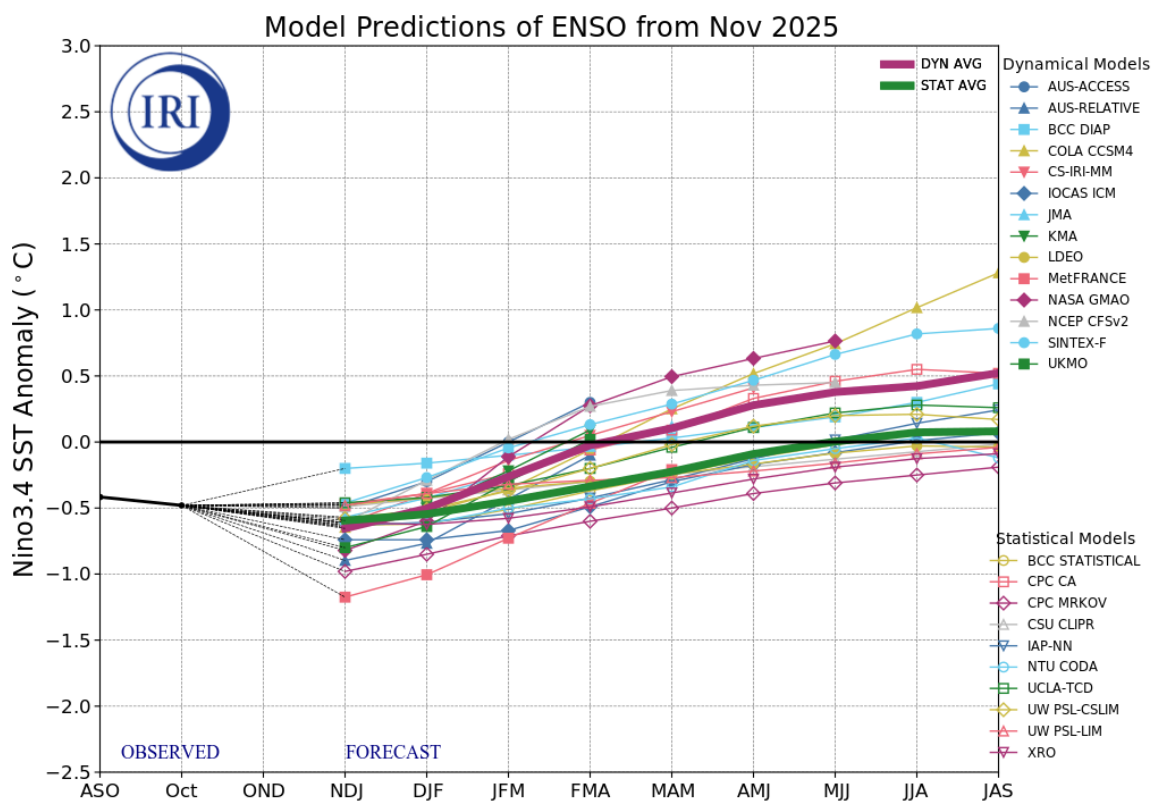


Figura 6. Pronósticos de las anomalías de la temperatura de la superficie del océano (SST) en la región de El Niño 3.4 (5°N - 5°S , 120°O - 170°O). Figura actualizada el 19 de noviembre de 2025 por el Instituto Internacional de Investigación (IRI, por sus siglas en inglés) para Clima y Sociedad.

Official NOAA CPC ENSO Probabilities (issued December 2025)

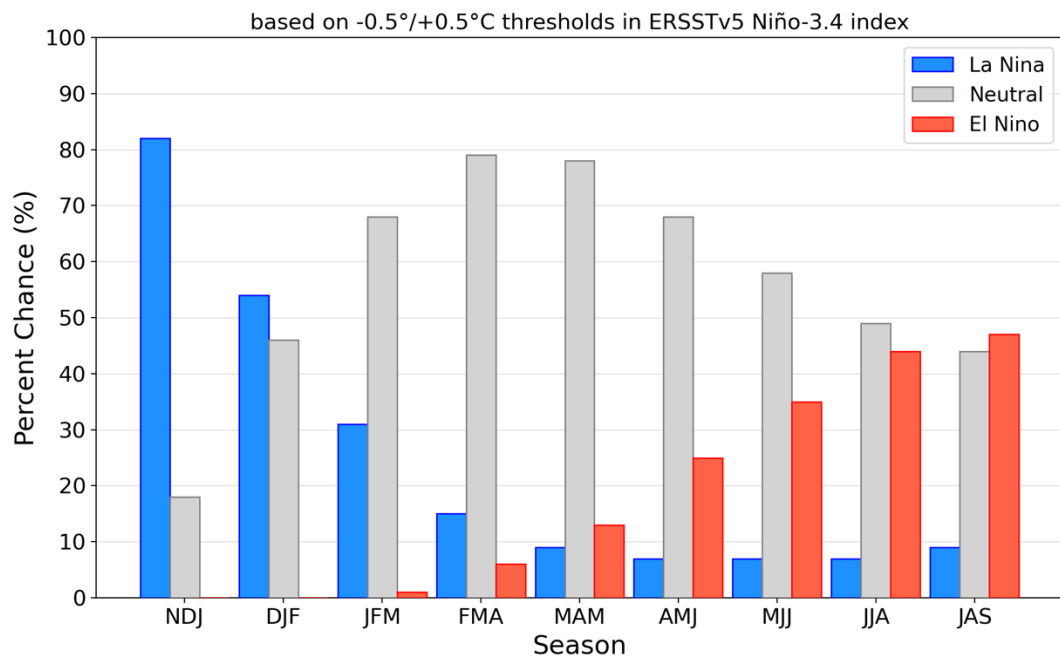


Figura 7. Probabilidades oficiales de ENSO para el índice de temperatura de la superficie del mar en la región Niño 3.4 ($5^{\circ}\text{N}-5^{\circ}\text{S}$, $120^{\circ}\text{O}-170^{\circ}\text{O}$). Figura actualizada el 11 de diciembre de 2025.